

Trabajo de Fin de Master

Ingeniería Electrónica, Robótica y Automática

Posicionamiento de un UAV usando marcadores visuales

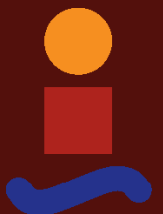
Autor: Isidro Jesús Arias Sánchez

Tutores: Manuel Vargas Villanueva

Manuel Gil Ortega Linares

Dpto. de Ingeniería de Sistemas y Automática
Escuela Técnica Superior de Ingeniería
Universidad de Sevilla

Sevilla, 2020



Trabajo de Fin de Master
Ingeniería Electrónica, Robótica y Automática

Posicionamiento de un UAV usando marcadores visuales

Autor:

Isidro Jesús Arias Sánchez

Tutores:

Manuel Vargas Villanueva

Profesor Titular

Manuel Gil Ortega Linares

Catedrático

Dpto. de Ingeniería de Sistemas y Automática
Escuela Técnica Superior de Ingeniería
Universidad de Sevilla

Sevilla, 2020

Trabajo de Fin de Master: Posicionamiento de un UAV usando marcadores visuales

Autor: Isidro Jesús Arias Sánchez

Tutores: Manuel Vargas Villanueva, Manuel Gil Ortega Linares

El tribunal nombrado para juzgar el trabajo arriba indicado, compuesto por los siguientes profesores:

Presidente:

Vocal/es:

Secretario:

acuerdan otorgarle la calificación de:

El Secretario del Tribunal

Fecha:

Agradecimientos

Estos 4 años han sido mejores gracias al apoyo de algunas personas. Especialmente quiero agradecerse a mis padres, Mercedes y José, a mi tía Antonia, a mi abuela Mercedes, a mi hermano Héctor, a Candi, mi novia, a mis amigos de Sevilla, Ángel, Carlos, David, Fernando, Jorge y Samuel, a los de Cádiz, Daniel, Juan Luís, Javier Mena, Javier Sanz, Pepe y Pedro, y por último y no menos importante, a mi tutores Manuel Vargas y Manuel Gil, y al resto de los profesores que me han sabido enseñar y de los que tanto he aprendido. Gracias a todos.

*Isidro Arias Sánchez
Sevilla, 2019*

Resumen

En este proyecto se va a desarrollar el estudio de un vehículo aéreo no tripulado que tiene dos hélices o rotores orientables, denominado tiltrotor, del ingles *tilt* que significa inclinar.

El fundamento de este trabajo es contribuir en el estudio de una nave convertible en la que los rotores, al ser inclinables, funcionan con las ventajas de dos modelos de aeronaves diferentes, una del tipo helicóptero que lo dota de alta maniobrabilidad, y otra de tipo aeroplano que le permite recorrer largas distancias.

Entendiendo la importancia de la simulación en la construcción de vehículos aéreos, se opta por la elección de dos herramientas diferentes en el ámbito de la simulación. Se trata de comprobar y testar las coincidencias entre ellas, de manera que se corrija y disminuya la posibilidad de errores en el proceso.

Por último, se añade al proyecto la fabricación de un tiltrotor para verificar los modelos utilizados en la simulación.

Abstract

The basis of this work is to contribute to the study of a convertible aerial vehicle in which the rotors, being tiltable, operate with the advantages of two different aircraft models, one of the helicopter type that gives it high maneuverability, and one of the airplane type that allows traveling long distances.

Understanding the importance of simulation in the design of aerial vehicles, we have chosen two different tools in the field of simulation. It is about verifying and testing the coincidences between them, so that it corrects and reduces the possibility of errors in the process.

Finally, a prototype will be built in order to verify the models used in the simulation.

Índice Abreviado

<i>Resumen</i>	III
<i>Abstract</i>	V
<i>Índice Abreviado</i>	VII
1 Estimador de estados	1
1.1 Manejo de medidas retrasadas	1
1.2 EKF para modelo bidimensional	2
1.3 Simulación del quadrotor y del estimador	4
Apéndice A Simulador del estimador de estados	7
<i>Índice de Figuras</i>	13
<i>Índice de Tablas</i>	15

Índice

<i>Resumen</i>	III
<i>Abstract</i>	V
<i>Índice Abreviado</i>	VII
1 Estimador de estados	1
1.1 Manejo de medidas retrasadas	1
1.2 EKF para modelo bidimensional	2
1.3 Simulación del quadrotor y del estimador	4
Apéndice A Simulador del estimador de estados	7
<i>Índice de Figuras</i>	13
<i>Índice de Tablas</i>	15

1 Estimador de estados

En muchas ocasiones se tienen sensores con un retraso y una frecuencia de actualización muy diferentes entre ellos, por ejemplo una IMU es mucho más rápida que el procesamiento de la imagen de una cámara. PX4 lo soluciona añadiendo más elementos a la estructura original de un estimador de estados. Uno de sus elementos es un *Filtro de Kalman Extendido* (EKF). Este no usa las medidas más nuevas que le llegan, si no que las almacena y utiliza las que llegaron hace un determinado tiempo. Corriendo en paralelo pero a una frecuencia mayor, existe un estimador llamado *Filtro de Salida*, el cual sí que utiliza la última medida del acelerómetro y del giróscopo.

1.1 Manejo de medidas retrasadas

Supongamos que se tiene un sistema que se mueve en el espacio y del que se quiere conocer sus estados, en concreto, su posición, su velocidad y su orientación. Para este objetivo el sistema está dotado de numerosos sensores como que son un acelerómetro, un giróscopo, un barómetro, un GNSS o un sensor de flujo óptico. Cada uno de ellos tiene diferentes propiedades en cuanto a retraso, ruido, precisión, etc. Por ejemplo, la posición estimada por visión es una fuente muy precisa de posición, pero sin embargo tiene un gran retraso desde que se toma la imagen hasta que se procesa y se genera la medida.

Para explicar un método de cómo afrontar este problema, se va a poner un ejemplo de la ejecución paso a paso del estimador con diferentes sensores. Supongamos que en el primera ejecución del estimador, se toma la primera medida de la IMU (acelerómetro y giróscopo). El EKF todavía no la utiliza, si no que la guarda en su buffer (figura 1.1). Conforme llegan nuevas medidas, que ocurre cada 5 ms, estas se introducen en la posición de más a la izquierda del buffer y las que ya estaban se van desplazando hacia la derecha, hasta que llegan a la última celda. La medidas de esta celda situada más a la derecha, son las que son usadas por el EKF. Los estados que este genera y las medidas utilizadas para estimarlos se refieren al *horizonte de tiempo retrasado*. Como se muestra en la figura, el buffer tiene una longitud de 7 celdas, por lo tanto las medidas de la IMU que llegan al EKF siempre serán las que se recogieron hace 30 ms.

Pasan algunos ciclos más hasta que en el instante 50ms llega la primera medida del GPS, pero esta no se coloca en el extremo izquierdo del buffer junto con las medidas más recientes de la IMU, si no que se lleva directamente a la celda número 5 (ver figura 1.2). En esta también se encuentran las medidas de la IMU tomadas en el instante 25ms, es decir las que fueron tomadas hace 25 ms (50 ms - 25 ms), que coincide con el retraso que tiene la posición del GPS con respecto a la IMU. De esta manera se agrupan las medidas que se refieren al mismo instante físico, es decir, el instante en el que llegaron pero **compensándose su retraso**.

De forma paralela se ejecuta el *filtro de salida*, que es otro estimador de estados y para esta explicación se va a suponer que su funcionamiento interno es exactamente igual al del EKF, la única diferencia es que solamente utiliza las medidas de la IMU, en este caso las que se generan más recientemente. Estos estados se refieren al *horizonte de tiempo actual* y son los únicos que se usan para las otras tareas que tenga vehículo, como por ejemplo para alimentar al controlador de orientación, por esta razón se le denomina filtro de salida. El problema que tiene este es que desaprovecha todos los demás sensores que tiene el vehículo, por lo que se le aplica un **mecanismo de corrección**.

Este mecanismo está compuesto otro buffer llamado *buffer de salida*, que se comporta de la misma manera que el primero, pero en lugar de guardar medidas, almacena los estados del filtro de salida. Estos estados se van desplazando hacia la derecha hasta que llegan a la última posición del buffer. En esta posición están los

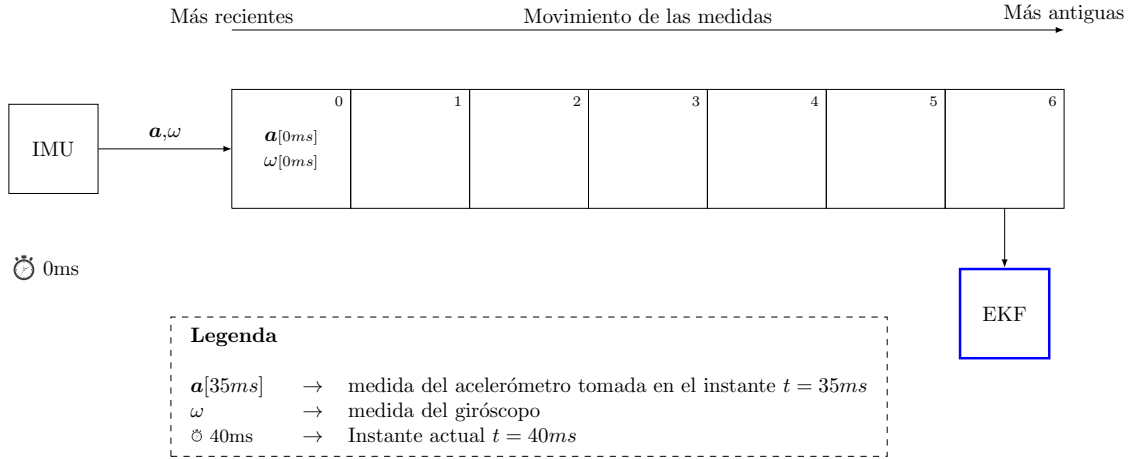


Figura 1.1 Primera medida tomada de la IMU.

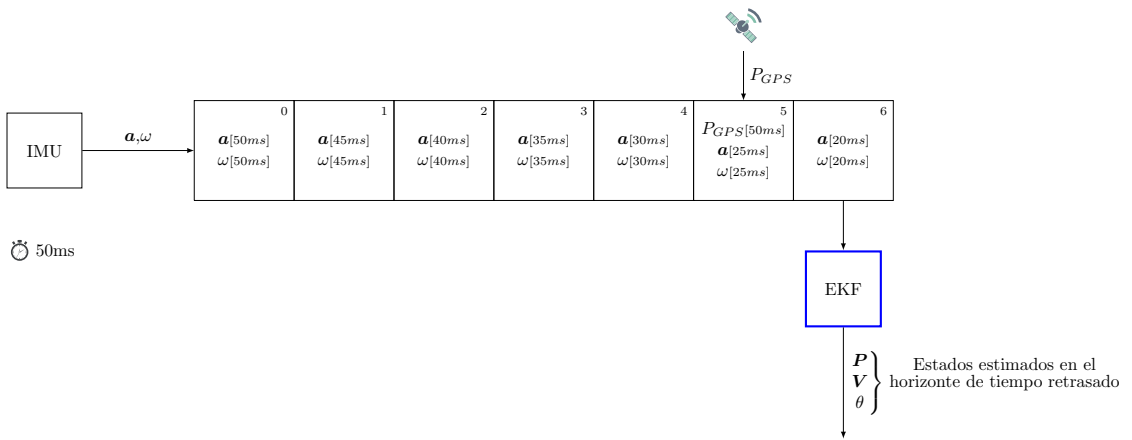


Figura 1.2 Llegada de la medida del GPS.

estados que se estimaron por el filtro de salida hace 30 ms, que coincide con el retraso que tienen las medidas de la IMU que entran al EKF. Si al EKF solo se le hubiese suministrado las medidas de la IMU, al igual que al filtro de salida, los estados del EKF y los que hay almacenado en esta última celda del buffer de salida coincidirían. Sin embargo, lo que está ocurriendo es que el EKF recoge medidas de otros sensores y por lo tanto no coincidirán. Para realizar la corrección, se calcula la diferencia entre ellos. Esta diferencia se atenúa y se le suma a todos los elementos del buffer de salida, además de al propio filtro de salida.

[añadir detalles de implementación]

1.2 EKF para modelo bidimensional

Se buscará un modelo discreto de espacio de estados descrito de la siguiente manera:

$$X_{k+1} = f(X_k) \quad (1.1)$$

Se va aplicar a un quadrotor en 2 dimensiones, pero el modelo al ser cinemático, se podría aplicar a cualquier otro móvil.

Estados:

$$X = \begin{bmatrix} x \\ y \\ V_x \\ V_y \\ \theta \end{bmatrix} \quad (1.2)$$

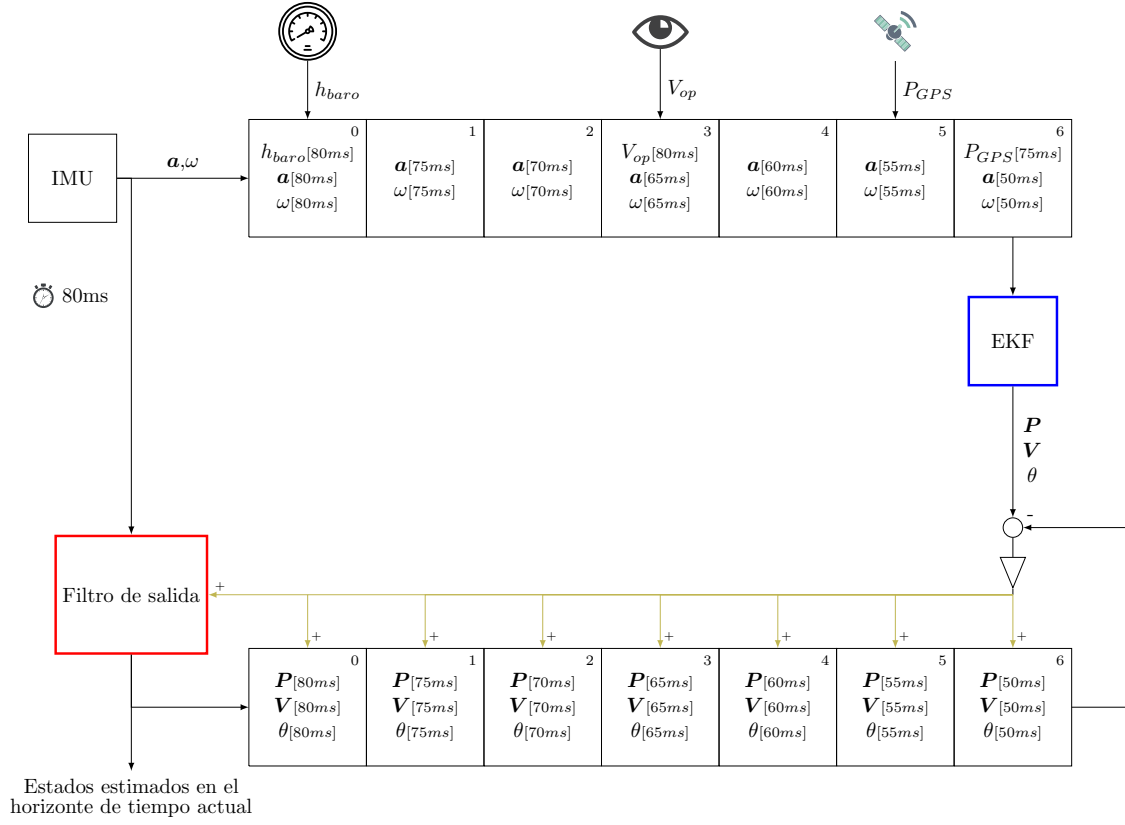


Figura 1.3 Estimador completo.

Modelo de predicción cinemático:

$$\begin{bmatrix} x \\ y \end{bmatrix}_{k+1} = \begin{bmatrix} x \\ y \end{bmatrix}_k + \begin{bmatrix} V_x \\ V_y \end{bmatrix}_k \Delta t \quad (1.3)$$

$$\begin{bmatrix} V_x \\ V_y \end{bmatrix}_{k+1} = \begin{bmatrix} V_x \\ V_y \end{bmatrix}_k + \Delta t \begin{bmatrix} \cos \theta & \sin \theta \\ -\sin \theta & \cos \theta \end{bmatrix} \mathbf{a} + \begin{bmatrix} 0 \\ -mg \end{bmatrix} \Delta t \quad (1.4)$$

$$\theta_{k+1} = \theta_k + \Delta t \omega \quad (1.5)$$

Jacobiano del modelo de predicción:

$$F = \frac{\partial f}{\partial X} \Big|_{X_{k-1}} = \begin{bmatrix} 1 & 0 & \Delta t & 0 & 0 \\ 0 & 1 & 0 & \Delta t & 0 \\ 0 & 0 & 1 & 0 & \Delta t (-a_x \sin \theta_{k-1} + a_y \cos \theta_{k-1}) \\ 0 & 0 & 0 & 1 & \Delta t (-a_x \cos \theta_{k-1} - a_y \sin \theta_{k-1}) \\ 0 & 0 & 0 & 0 & 1 \end{bmatrix} \quad (1.6)$$

Jacobiano del acelerómetro y el giróscopo

$$G = \frac{\partial f}{\partial \mathbf{a}, \omega} = \begin{bmatrix} 0 & 0 & 0 \\ 0 & 0 & 0 \\ \Delta t \cos \theta & \Delta t \sin \theta & 0 \\ -\Delta t \sin \theta & \Delta t \cos \theta & 0 \\ 0 & 0 & \Delta t \end{bmatrix} \quad (1.7)$$

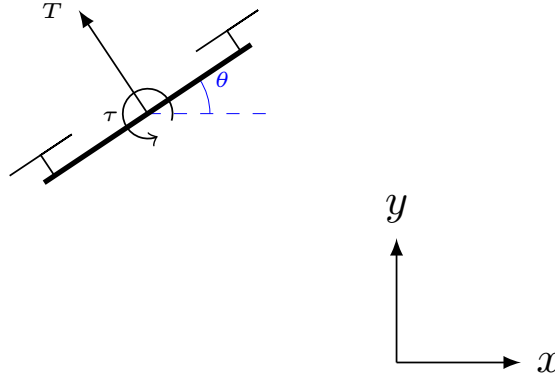


Figura 1.4 Quadrotor en dos dimensiones.

Matriz de covarianzas de la predicción:

$$Q = G \begin{bmatrix} \sigma_a^2 & 0 & 0 \\ 0 & \sigma_a^2 & 0 \\ 0 & 0 & \sigma_\omega^2 \end{bmatrix} G^T \quad (1.8)$$

1.3 Simulación del quadrotor y del estimador

En este apartado se implementará el filtro explicado en este capítulo y pondrá a prueba con un simulador de un quadrotor. Tanto el estimador como el simulador estarán programados en lenguaje python. El simulador será muy sencillo, describirá el movimiento de un quadrotor en el plano al que únicamente se le aplican la fuerza de la gravedad, un empuje y un par. Estos dos últimos se serán generados por un controlador de velocidad vertical y un controlador de ángulo, los cuales toman la velocidad, y la inclinación real del vehículo en lugar de medidas ruidosas. Sus referencias se han escogido para que desde el reposo, ascienda unos metros, y luego se desplace hacia la dirección negativa del eje x.

Para simular el quadrotor se realiza una integración discreta de la segunda ley de Newton:

$$\ddot{\theta} = \frac{\tau}{I} \quad (1.9)$$

$$\dot{\theta} = \dot{\theta}_{i-1} + \Delta t \ddot{\theta} \quad (1.10)$$

$$\theta = \theta_{i-1} + \Delta t \dot{\theta} \quad (1.11)$$

$$R = \begin{bmatrix} \cos \theta & -\sin \theta \\ \sin \theta & \cos \theta \end{bmatrix} \quad (1.12)$$

$$\mathbf{T}_{rot} = R \begin{bmatrix} 0 \\ T \end{bmatrix} \quad (1.13)$$

$$\mathbf{F}_g = \begin{bmatrix} 0 \\ -mg \end{bmatrix} \quad (1.14)$$

$$\mathbf{a} = \frac{\mathbf{T} + \mathbf{F}_g}{m} \quad (1.15)$$

$$\mathbf{v} = \mathbf{v}_{i-1} + \mathbf{a} \Delta t \quad (1.16)$$

$$\mathbf{p} = \mathbf{p}_{i-1} + \mathbf{v} \Delta t \quad (1.17)$$

$$(1.18)$$

Una vez se ha simulado esta trayectoria, se pasa ejecutar el estimador de estados. Este toma unas medidas a las que se le ha aplicado un ruido gaussiano y genera su estimación de los estados. Finalmente estos se comparan con los estados reales y se verifica el desempeño del estimador.

El primer experimento que se va a mostrar, al estimador de estados no le va a entrar ninguna otra medida que no sea la del giróscopo y la del acelerómetro (ver figura 1.5) y en el segundo experimento (1.6) se va

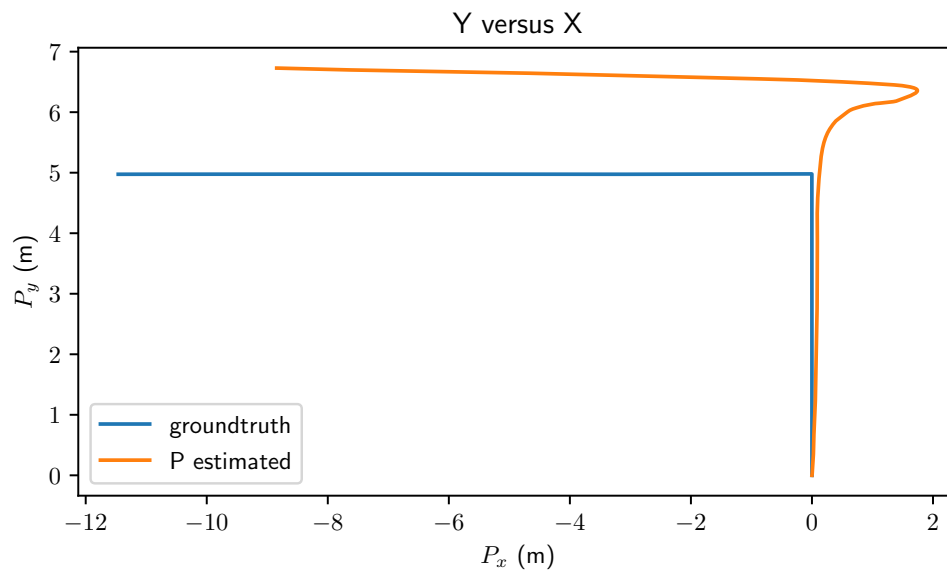
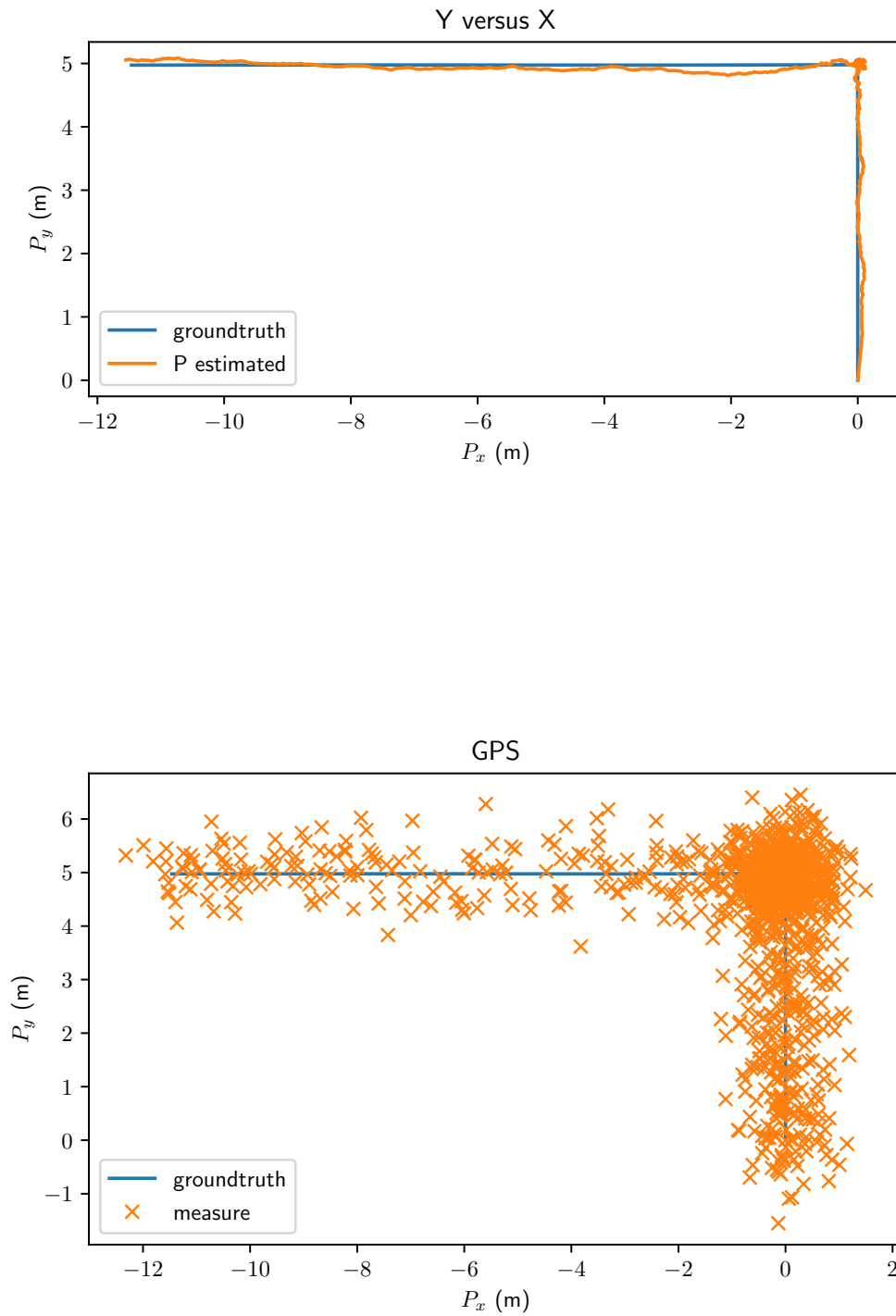


Figura 1.5 EKF no ejecuta la fase de actualización.

a fusión de la medida del GPS. Se puede ver que la fusión del GPS, aunque sea muy ruidosa, mejora en la estimación de la posición ya que no se produce la deriva del primer experimento.

[Incluir GPS con retraso y comparar]

[Incluir código explicado en anexo]

**Figura 1.6** Fusionando la medida del GPS.

Apéndice A

Simulador del estimador de estados

Código A.0.1: Simulador del estimador de estados (*main.py*)

```
1  #!/bin/env python3
2  import numpy as np
3  from numpy.random import randn
4  import matplotlib.pyplot as plt
5  import matplotlib
6  matplotlib.rcParams['text.usetex'] = True
7  import time
8  from pdb import set_trace
9
10
11 # Parameters
12 DATA_L=1000
13 MASS=1 # Kg
14 G_CONSTANT=9.8 # m/s^2
15 INERTIA=MASS*0.45**2/12 # Kg.m^2
16 DT=0.01 # s # Reducir el paso mejora la precisión de la predicción, aunque haya ruido
17
18 #ACCEL_NOISE = 0.35 # m/s^2
19 ACCEL_NOISE = 1 # m/s^2
20 #GYRO_NOISE = 0.015 # rad/s
21 GYRO_NOISE = 0.03 # rad/s
22 #GPS_NOISE= 0.7 # m
23 GPS_NOISE= 0.1 # m
24 VISION_NOISE = 0.05 # m
25
26 # Plot flags
27 DRAW_ESTIMATED = True
28 IMAGE_FOLDER = 'images/'
29 IMAGE_EXTENSION = 'png'
30
31
32 # Control se realiza sobre los estados reales para acotar más el efecto del estimador
33 def control_actuators(theta: float, thetad: float ,theta_ref:float, yd_e: float) ->
34     ↪ [float,float]:
35     # Control gains
36     K_height = 2
37     K_tilt = 0.2
38     Kd_tilt = 0.1
39     thrust = MASS*G_CONSTANT/np.cos(theta) + yd_e*K_height
40     torque = (theta_ref-theta)*K_tilt -thetad*Kd_tilt
41     return thrust, torque
42
43 def draw_animation(x,y,theta):
44     import numpy as np
45     import matplotlib.pyplot as plt
46     from matplotlib.animation import FuncAnimation
47
48     fig, ax = plt.subplots()
49     xdata, ydata = [], []
```

```

49     ln, = plt.plot([], [], 'r')
50     ln2, = plt.plot([], [], 'b')
51
52
53     def init():
54         margin=2
55         ax.set_xlim(min(x)-margin, max(x)+margin)
56         ax.set_ylim(min(y)-margin, max(y)+margin)
57         ax.set_aspect('equal')
58         return ln,
59
60     def update(frame):
61         xdata.append(x[frame])
62         ydata.append(y[frame])
63         ln.set_data(xdata, ydata)
64         c = np.cos(theta[frame])
65         s = np.sin(theta[frame])
66         rot_mat = np.array([[c, -s], [s, c]])
67         p1 = [-0.5,0]
68         p2 = [0.5,0]
69         p1_rot = rot_mat @ p1
70         p2_rot = rot_mat @ p2
71         ln2.set_data([p1_rot[0],p2_rot[0]]+x[frame], [p1_rot[1],p2_rot[1]]+y[frame])
72         return ln,ln2
73
74     ani = FuncAnimation(fig, update, frames=len(x),
75                        init_func=init, blit=True, interval=DT*1e3,repeat=False)
76     plt.show()
77
78     def main():
79         print("-----")
80         print("Simulador quadrotor")
81         print("-----")
82
83         # Actuation signals
84         thrust = np.ones( DATA_L )*MASS*G_CONSTANT
85         torque = np.zeros( DATA_L )
86
87         # translational variables
88         a = np.zeros( (2,DATA_L) )
89         v = np.zeros( (2,DATA_L) )
90         p = np.zeros( (2,DATA_L) )
91
92         # angular variables. Initialized in zero
93         theta = np.zeros( DATA_L )
94         thetad = np.zeros( DATA_L )
95         thetadd = np.zeros( DATA_L )
96
97         # sensores
98         accel = np.zeros( (2,DATA_L) )
99         accel_gt = np.zeros( (2,DATA_L) )
100         gyro = np.zeros( DATA_L )
101         gps = np.zeros( (2,DATA_L) )
102         vision = np.zeros( (2,DATA_L) )
103         # add optical flow
104         op_flow = np.zeros( DATA_L )
105
106         # Setpoints
107         yd_ref = np.zeros( DATA_L )
108         theta_ref = np.zeros( DATA_L )
109         yd_ref[ :int(DATA_L*0.25) ] = 2
110         theta_ref[int(DATA_L*0.70) :int(DATA_L*0.85) ] = np.pi/6
111         theta_ref[int(DATA_L*0.85) : ] = -np.pi/6
112
113         t = np.array(list(range(DATA_L)))*DT
114
115         # Simulate 2 newton law
116         # Simular despegue y avance dibujando el suelo

```



```

118     for i in range(1,DATA_L): # Pass states are needed, so we start at second
119         # Control actuators
120         thrust[i], torque[i] = control_actuators(theta[i-1],thetad[i-1], theta_ref[i],
121             ↪ yd_ref[i] - v[1,i-1])
122
123         # Rotational dynamics
124         thetadd[i] = torque[i]/INERTIA
125         thetad[i] = thetad[i-1] + DT*thetadd[i] # TODO: test trapezoidal integration
126         theta[i] = theta[i-1] + DT*thetad[i]
127
128         # Rotation matrix. Transform body coordinates to inertial coordinates
129         c = np.cos(theta[i])
130         s = np.sin(theta[i])
131         rot_mat = np.array([[c, -s], [s, c]])
132
133         # Translational dynamics
134         thrust_rot= rot_mat @ np.array([0, thrust[i]])
135         gravity_force = np.array([0, -G_CONSTANT])*MASS
136         a[:,i] = (thrust_rot+gravity_force)/MASS
137         v[:,i] = v[:,i-1] + DT*a[:,i]
138         p[:,i] = p[:,i-1] + DT*v[:,i]
139
140         # simulate sensors
141         accel_gt[:,i] = np.linalg.inv(rot_mat) @ a[:,i]
142         accel[:,i] = accel_gt[:,i] + randn(2)*ACCEL_NOISE # TODO: Habría que
143             ↪ multiplicarlo por la inversa de rot_mat?
144         gps[:,i] = p[:,i] + randn(2)*GPS_NOISE
145         vision[:,i] = p[:,i] + randn(2)*VISION_NOISE
146         gyro[i] = thetad[i] + randn(1)*GYRO_NOISE
147
148         # States estimation
149         v_est = np.zeros( (2,DATA_L) )
150         p_est = np.zeros( (2,DATA_L) )
151         theta_est = np.zeros( DATA_L )
152
153         # Matriz de covarianzas
154         P_est = np.zeros( (5,5,DATA_L) )
155
156         # Error en la predicción # TODO: calcularlo a partir de los ruidos de los sensores
157         Q = np.zeros( (5,5) )
158
159         # Jacobianos de los modelos de observación
160         H_vision = np.zeros((2,5))
161         H_vision[0,0]=1
162         H_vision[1,1]=1
163         R_vision = np.diag([VISION_NOISE**2, VISION_NOISE**2])
164
165         H_gps = np.zeros((2,5))
166         H_gps[0,0]=1
167         H_gps[1,1]=1
168         R_gps = np.diag([GPS_NOISE**2, GPS_NOISE**2])
169
170         # Initalization
171         for i in range(1,DATA_L):
172             # Prediction de los estados
173             theta_pred = theta_est[i-1] + DT*gyro[i]
174             c = np.cos(theta_pred)
175             s = np.sin(theta_pred)
176             # TODO: utilizar aquí el predicho ahora o el estimado anterior?
177             #c = np.cos(theta_est[i-1])
178             #s = np.sin(theta_est[i-1])
179             rot_mat = np.array([[c, -s], [s, c]])
180             v_pred = v_est[:,i-1] + DT*rot_mat @ accel[:,i]
181             p_pred = p_est[:,i-1] + DT*v_pred[:,i-1]
182
183             # Predicción de la matriz de covarianzas
184             x_pred=np.array([p_pred[0], p_pred[1], v_pred[0], v_pred[1], theta_pred])
185             F = np.array([

```

```

185         [1,0,DT,0 ,0],
186         [0,1,0 ,DT,0],
187         [0,0,1 ,0,DT*(-accel[0,i]*np.sin(theta_pred) +
188         ↪ accel[1,i]*np.cos(theta_pred) )],
189         [0,0,0 ,1,DT*(-accel[0,i]*np.cos(theta_pred) -
190         ↪ accel[1,i]*np.sin(theta_pred) )],
191         [0,0,0 ,0 ,1],
192     ])
193     G = np.array([
194         [0 ,0 ,0],
195         [0 ,0 ,0], # que pasaría si desarrollo v(a) aquí?
196         [DT*c ,DT*s ,0],
197         [-DT*s , DT*c ,0],
198         [0 ,0 ,DT],
199     ])
200     Q = G @ np.diag([ACCEL_NOISE**2, ACCEL_NOISE**2, GYRO_NOISE**2]) @
201     ↪ np.transpose(G)
202     P_pred = np.zeros((5,5))
203     P_pred = F @ P_est[:, :, i-1] @ np.transpose(F) + Q
204
205     x_est = x_pred
206     p_est[:, i] = x_est[0:2] # Remind slices x:y doesn't include y
207     v_est[:, i] = x_est[2:4]
208     theta_est[i] = x_est[4]
209     P_est[:, :, i] = P_pred
210
211     ### Update
212     ## vision
213     #innov = vision[:, i] - p_pred[:, i]
214     #S_vision = H_vision @ P_pred @ np.transpose(H_vision) + R_vision
215     #K_f = P_pred @ np.transpose(H_vision) @ np.linalg.inv(S_vision)
216     #x_est = x_est + K_f @ innov
217     #p_est[:, i] = x_est[0:2] # Remind slices x:y doesn't include y
218     #v_est[:, i] = x_est[2:4]
219     #theta_est[i] = x_est[4]
220     #p_est[:, i] = x_est[1:2]
221     #P[:, :, i] = P_pred + K_f @ H_vision @ P_pred
222
223     ## gps
224     innov = gps[:, i] - p_est[:, i]
225     S_gps = H_gps @ P_est[:, :, i] @ np.transpose(H_gps) + R_gps
226     K_f = P_est[:, :, i] @ np.transpose(H_gps) @ np.linalg.inv(S_gps)
227     x_est = x_est + K_f @ innov
228     p_est[:, i] = x_est[0:2] # Remind slices x:y doesn't include y
229     v_est[:, i] = x_est[2:4]
230     theta_est[i] = x_est[4]
231     P_est[:, :, i] = P_est[:, :, i] - K_f @ H_gps @ P_est[:, :, i]
232
233     # Plot results
234     fig, ax = plt.subplots()
235     ax.set_title('X position versus time')
236     ax.plot(t, p[0, :], label='P groundtruth')
237     if DRAW_ESTIMATED:
238         ax.plot(t, p_est[0, :], label='P estimated')
239         ax.plot(t, P_est[0, 0, :], label='error estimated')
240     plt.xlabel('t (s)')
241     plt.ylabel('$P_x$ (m)')
242     ax.legend()
243     plt.savefig(IMAGE_FOLDER + 'x_t.' + IMAGE_EXTENSION)
244
245     fig, ax = plt.subplots()
246     ax.set_title('Y position versus time')
247     ax.plot(t, p[1, :], label='P groundtruth')
248     if DRAW_ESTIMATED:
249         ax.plot(t, p_est[1, :], label='P estimated')
250         ax.plot(t, P_est[1, 1, :], label='error estimated')
251     plt.xlabel('t (s)')

```

```

251 plt.ylabel('$P_y$ (m)')
252 ax.legend()
253 plt.savefig(IMAGE_FOLDER + 'y_t.' + IMAGE_EXTENSION)
254
255 fig, ax = plt.subplots()
256 ax.set_title('Velocity versus time')
257 ax.plot(t, v[0,:],color='tab:red', label='$V_x$ groundtruth', linestyle='--')
258 ax.plot(t, v[1,:],color='tab:blue', label='$V_y$ groundtruth', linestyle='--')
259 if DRAW_ESTIMATED:
260     ax.plot(t, v_est[0,:],color='tab:red', label='$V_x$ estimated')
261     ax.plot(t, v_est[1,:],color='tab:blue', label='$V_y$ estimated')
262     ax.plot(t, P_est[2,2,:],label='error estimated $V_x$')
263     ax.plot(t, P_est[3,3,:],label='error estimated $V_y$')
264 plt.xlabel('t (s)')
265 plt.ylabel('$V$ (m/s)')
266 ax.legend()
267 plt.savefig(IMAGE_FOLDER + 'V.' + IMAGE_EXTENSION)
268
269 fig, ax = plt.subplots()
270 ax.set_title('Tilt versus time')
271 ax.plot(t, theta, label='groundtruth')
272 if DRAW_ESTIMATED:
273     ax.plot(t, theta_est, label='estimated')
274     ax.plot(t, P_est[4,4,:],label='error estimated')
275 plt.xlabel('t (s)')
276 plt.ylabel(r'$\theta$ (rad)')
277 ax.legend()
278 plt.savefig(IMAGE_FOLDER + 'theta.' + IMAGE_EXTENSION)
279
280 fig, ax = plt.subplots()
281 ax.set_title('Y versus X')
282 ax.plot(p[0,:],p[1,:], label='groundtruth')
283 if DRAW_ESTIMATED:
284     ax.plot(p_est[0,:],p_est[1,:], label='P estimated')
285 plt.xlabel('$P_x$ (m)')
286 plt.ylabel('$P_y$ (m)')
287 ax.legend()
288 ax.set_aspect('equal')
289 plt.savefig(IMAGE_FOLDER + 'tray.' + IMAGE_EXTENSION)
290
291 # Sensors
292 fig, ax = plt.subplots()
293 ax.set_title('Accelerometer')
294 ax.plot(t, accel_gt[0,:], color='tab:red', label='$a_x$ groundtruth',
295         linestyle='--')
296 ax.plot(t, accel_gt[1,:], color='tab:blue', label='$a_y$ groundtruth',
297         linestyle='--')
298 ax.plot(t, accel[0,:], color='tab:red', label='$a_x$ measure')
299 ax.plot(t, accel[1,:], color='tab:blue', label='$a_y$ measure')
300 plt.xlabel('t (s)')
301 plt.ylabel('a (m/s)')
302 ax.legend()
303 plt.savefig(IMAGE_FOLDER + 'accel.' + IMAGE_EXTENSION)
304
305 fig, ax = plt.subplots()
306 ax.set_title(r'$\omega$ Gyro')
307 ax.plot(t, thetad,label='groundtruth')
308 ax.plot(t, gyro, label='measure')
309 plt.xlabel('t (s)')
310 plt.ylabel(r'$\omega$ (rad/s)')
311 ax.legend()
312 plt.savefig(IMAGE_FOLDER + 'gyro.' + IMAGE_EXTENSION)
313
314 fig, ax = plt.subplots()
315 ax.set_title('GPS')
316 ax.plot(p[0,:],p[1,:],label='groundtruth')
317 ax.plot(gps[0,:],gps[1,:], label='measure', linestyle=" ", marker="x")
318 plt.xlabel('$P_x$ (m)')
319 plt.ylabel('$P_y$ (m)')

```

```

318     ax.legend()
319     ax.set_aspect('equal')
320     plt.savefig(IMAGE_FOLDER + 'gps.' + IMAGE_EXTENSION)
321
322     fig, ax = plt.subplots()
323     ax.set_title('Elementos diagonales de la matriz de covarianzas')
324     ax.plot(t,P_est[0,0,:],label='$P_x$')
325     ax.plot(t,P_est[1,1,:],label='$P_y$')
326     ax.plot(t,P_est[2,2,:],label='$V_x$')
327     ax.plot(t,P_est[3,3,:],label='$V_y$')
328     ax.plot(t,P_est[4,4,:],label=r'$\theta$')
329     plt.xlabel('$t$ (s)')
330     plt.ylabel('m,m/m/s,m/s,rad')
331     ax.legend()
332     plt.savefig(IMAGE_FOLDER + 'P_est_diag.' + IMAGE_EXTENSION)
333
334     fig, ax = plt.subplots()
335     ax.set_title('Matriz de covarianzas')
336     # Parece que es diagonal
337     ax.plot(t,P_est[0,1,:],label='$P_{est}[0,1]$')
338     ax.plot(t,P_est[0,2,:],label='$P_{est}[0,2]$')
339     ax.plot(t,P_est[0,3,:],label='$P_{est}[0,3]$')
340     ax.plot(t,P_est[0,4,:],label='$P_{est}[0,4]$')
341     ax.plot(t,P_est[1,2,:],label='$P_{est}[1,2]$')
342     ax.plot(t,P_est[1,3,:],label='$P_{est}[1,3]$')
343     ax.plot(t,P_est[1,4,:],label='$P_{est}[1,4]$')
344     ax.plot(t,P_est[2,3,:],label='$P_{est}[2,3]$')
345     ax.plot(t,P_est[2,4,:],label='$P_{est}[2,4]$')
346     ax.plot(t,P_est[3,4,:],label='$P_{est}[3,4]$')
347     ax.plot(t,P_est[0,0,:],label='$P_x$', linestyle="--")
348     ax.plot(t,P_est[1,1,:],label='$P_y$', linestyle="--")
349     ax.plot(t,P_est[2,2,:],label='$V_x$', linestyle="--")
350     ax.plot(t,P_est[3,3,:],label='$V_y$', linestyle="--")
351     plt.xlabel('$t$ (s)')
352     ax.legend()
353     plt.savefig(IMAGE_FOLDER + 'P_est' + IMAGE_EXTENSION)
354
355
356     plt.show()
357
358     draw_animation(p[0,:],p[1:],theta)
359
360     if __name__=="__main__":
361         main()

```

Índice de Figuras

1.1	Primera medida tomada de la IMU	2
1.2	Llegada de la medida del GPS	2
1.3	Estimador completo	3
1.4	Quadrotor en dos dimensiones	4
1.5	EKF no ejecuta la fase de actualización	5
1.6	Fusionando la medida del GPS	6

Índice de Tablas
